



## CO<sub>2</sub> VA H<sub>2</sub> NING QUYI OLEFINLARGA SELEKTIV TRANSFORMATSIYASI

*Qo'yboqarov Oybek Ergashovich*

*Qarshi davlat texnika universiteti dotsenti*

**Annotatsiya:** Ishda pastki olefinlar (C<sub>2</sub> =–C<sub>4</sub> =, odatda etilen, propilen va butilenni nazarda tutadi) kimyo sanoatining asosiy kimyoviy moddalari bo'lib, an'anaviy ravishda neftga asoslangan termal kreking orqali ishlab chiqariladi. Olefinlarni to'g'ridan-to'g'ri CO<sub>2</sub> gidrogenatsiyasi hali ham juda qiyin va bu jarayon uchun samarali katalizatorlarni ishlab chiqish juda ma'qul. Bu jarayonni shamol, quyosh va biomassa kabi qayta tiklanadigan manbalar yordamida ishlab chiqarilgan vodoroddan foydalangan holda birinchi navbatda CO<sub>2</sub> ni metanolga aylantirish, so'ngra metanolni olefinlarga aylantirish orqali erishish mumkin. quyi olefinlarni ishlab chiqarishning eng muvaffaqiyatli noneft-kimyoviy yo'llaridan biri ekanligi isbotlangan. Katta CHA tipidagi tuzilishga ega SAPO-34 (ya'ni, a 0,74 0,74 1,0 nm 3D qafas tuzilishi 0,38 0,38 nm kichik oyna o'lchamlari), shuningdek, yuqori gidrotermik barqarorlik va o'rtacha kislotalilik.

**kalit so'zlar:** MTO, SAPO-34 , metan, is gazi, vadorod, sintez gaz, nekil, cobalt, katalizator, oksidlash, suv bug'i.

### Kirish

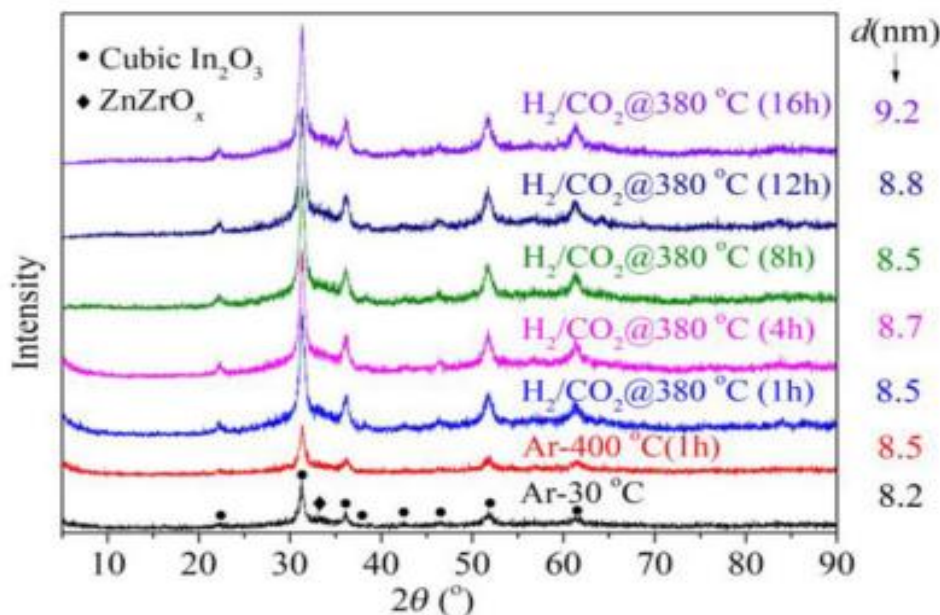
MTOdagi quyi olefinlarga nisbatan yuqori selektivlikni ko'rsatadi.[6-8] Biroq, SAPO-34 dan ortiq MTO paytida koks hosil bo'lishi tufayli tez deaktivatsiya odatda kuzatiladi.[9, 1]. Asosiy reaksiyalarning kinetikasini ajratib olish qiyin diffuziya tufayli katalizatorda koks hosil bo'lish reaksiyalari kichik mikroporlar orqali cheklash. Shu bilan bir qatorda, CO<sub>2</sub> ning quyi olefinlarga gidrogenatsiyasi o'zgartirilgan Fisher-Tropsh sintezi (FTS) yo'li orqali amalga oshirilishi mumkin,



bu ikki bosqichli jarayon bo'lib, CO<sub>2</sub> ning CO ga teskari suv-gaz almashinushi (RWGS) reaktsiyasi va keyingi jarayon bilan boshlanadi. FTS orqali CO ning uglevodorodlarga aylanishi. Biroq, C<sub>2</sub>-C<sub>4</sub> ning maksimal selektivligi, shu jumladan kerosin va olefinlar, Anderson-Schulz-Flori (ASF) taqsimoti tufayli juda yuqori istalmagan CH<sub>4</sub> ulushi 29,2% bilan 56,7% ni tashkil qiladi.[11-16]. So'nggi paytlarda ko'plab tadqiqotchilar CO<sub>2</sub> ni uglevodorodlarga to'g'ridan-to'g'ri aylantirish uchun oksid/seolit bifunksional katalizatorlar orqali CH<sub>4</sub> hosil bo'lishini sezilarli darajada inhibe qilgan holda C<sub>2</sub> =—C<sub>4</sub> = juda yuqori selektivligiga erishish mumkinligini xabar qilishdi.[17-20]. Ikki funktsiyali katalizatorlar odatda CO<sub>2</sub> faollashuvi va C-C ulanishi uchun mas'ul bo'lgan oksid komponenti va zeolit komponentidan iborat. Oldingi ishlarmizda biz tarkibida indiy asosidagi oksidlar va SAPO-34 zeolitlarini o'z ichiga olgan bifunksional katalizatorlar seriyasini ishlab chiqdik va sintez qildik, ular barcha uglevodorodlar orasida taxminan 4% CH<sub>4</sub> va taxminan 80% yuqori C<sub>2</sub> =—C<sub>4</sub> = selektivlikni berdi.[21], 22. Uglevodorod taqsimoti tomonidan olinganidan farq qiladi. Bundan tashqari, RWGS yuqori haroratda ma'qul bo'ladi va olefinlarni kamaytirish uchun CO<sub>2</sub> gidrogenatsiyasida bifunksional katalizatorlarga nisbatan CO selektivligi 85% gacha.[23, 24]. Agar indiy oksidi Zr va Zn promotorlari tomonidan o'zgartirilsa, bifunksional katalizatorlarga nisbatan CO selektivligi sezilarli darajada kamayishi aniqlandi.[21] Bundan tashqari, CO<sub>2</sub> ni bifunksional katalizatorlar orqali uglevodorodlarga gidrogenlash uchun CO<sub>2</sub> birinchi navbatda oksid komponentining sirt kislород bo'sh joylarida CH<sub>x</sub>O turlarini hosil qilish uchun vodorodlanadi, so'ngra CH<sub>x</sub>O oraliq mahsulotlar zeolitga o'tadi va keyinchalik kislota joylarida turli xil uglevodorodlarga aylanadi. seolit.[25–27]. Shunday qilib, reaksiya oraliqlarini tashish istalmagan RWGS yon reaktsiyasini bostirishda va kerakli mahsulotlar uchun yuqori selektivlikka erishishda hal qiluvchi rol o'yndaydi.[28-30]. Shunday qilib, SAPO-34 zeoliti uchun kristall hajmining pasayishi va diffuziya xususiyatlarining yaxshilanishi kompozit katalizatorlarga



nisbatan quyi olefinlarning shakllanishiga yordam berishi kerak. Turli kristal o'lchamdagи SAPO-34 zeolitlari tetra etilamoniy gidroksid (TEAOH), [31] trietilamin (TEA), [32] morfolin [33] va dietilamin kabi shablon sifatida turli aminlar yordamida sintezlanishi mumkin. DEA).[34]. Odatda, kichik SAPO-34 kristallari TEAOH ishtirokida hosil bo'ladi, [31, 35], ammo bu amin amaliy qo'llanmalar uchun juda qimmat. TEAOH bilan solishtirganda, organik shablon sifatida Choy arzon narxlardagi va yuqori zeolit hosildorligining aniq afzalliklariga ega va har doim kubsimon rombedral morfologiyaga ega mikronlangan SAPO-34 kristallari olinadi.[32]



Taqqoslash uchun Zn/Zr nisbati 1:1,1 bo'lgan ZnZrOx ishlatilgan. In<sub>2</sub>O<sub>3</sub>-ZnZrO<sub>x</sub>-c da kompozit oksidni qo'llab-quvvatlash sifatida In<sub>2</sub>O<sub>3</sub> yuklanishiga o'xshash, ammo In<sub>2</sub>O<sub>3</sub> zarrachalarining o'lchamlari kichikroq (jadval).

Bundan tashqari, 30.68 da cho'qqisi kengroq va assimetrikdir, ya'ni yomon kristallangan ZnZrOx kompozit oksidlari bilan bog'liq (Qo'shimcha ma'lumotda 1-rasm va S1-rasm). Brunauer-Emmett-Teller (BET) o'ziga xos sirt maydoni va g'ovak

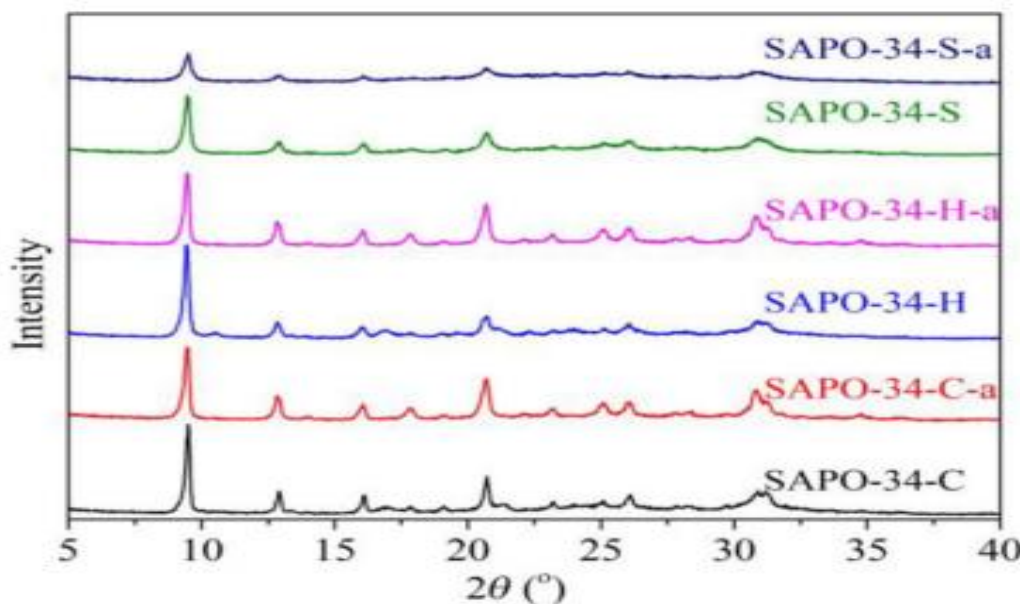
In<sub>2</sub>O<sub>3</sub>-ZnZrOx kompozit oksidlarining hajmi mos ravishda taxminan 80 m<sup>2</sup>g<sup>-1</sup> va 0,1 sm<sup>3</sup>g<sup>-1</sup> (1-jadval) Namunalarning yuqori aniqlikdagi (HR)TEM



tasvirida ko'rsatilganidek, 0,292 nm oraliq oralig'i  $\text{In}_2\text{O}_3(2\ 2\ 2)$  panjara oralig'iga mos keladi (2-rasm, b) tayanch sifatida yomon kristallangan  $\text{ZnZrOx}$  (2-rasm). a).  $\text{In}_2\text{O}_3$ - $\text{ZnZrOx}$  kompozit oksidlarining qaytarilishi  $\text{H}_2$  haroratga qarab dasturlashtirilgan pasaytirish (TPR) orqali o'rganildi va  $\text{H}_2$  iste'molining ikkita asosiy cho'qqisi kuzatildi (3-a-rasm). Yuqori haroratning cho'qqisi ( $=500$  8C)  $\text{In}_2\text{O}_3$  ning metallga ko'payishi bilan bog'liq. Pastroq haroratni pasaytirish cho'qqisi ( $=250$  8C) kislorod vakansiyalarining shakllanishi bilan bog'liq.[36] Keyinchalik kompozit oksidlarning  $\text{CO}_2$  harorati bo'yicha dasturlashtirilgan desorbsiyasi (TPD) amalga oshirildi. Shabl 3 b da ko'rsatilganidek, past harorat cho'qqisi ( $<370$  8C) ommaviy fazada  $\text{CO}_2$  ning adsorbsiyasi bilan bog'liq, 370 8C dan yuqori cho'qqilar esa termal induktsiyalangan kislorod bo'sh joylarida kuchli adsorbsiyalangan  $\text{CO}_2$  tufayli sodir bo'ladi. katalitik faollikda hal qiluvchi rol o'ynaydi. Sof  $\text{In}_2\text{O}_3$  ning  $\text{CO}_2$ -TPD profili bilan solishtirganda, [27]  $\text{In}_2\text{O}_3$  nanozarralari va tayanch o'rtasidagi kuchli o'zaro ta'sirdan kelib chiqadigan ancha yuqori haroratda ( $=730$  8C) tepalik ham kuzatildi. Bundan tashqari,  $\text{In}_2\text{O}_3$ - $\text{ZnZrOx}$ -c namunasining yuqori harorat cho'qqilari uchun signal yanada qizg'in bo'lib,  $\text{H}_2$ -TPR natijasi bilan yaxshi mos keladigan kislorod vakansiyalarining ko'pligini ko'rsatadi, bu  $\text{In}_2\text{O}_3$  nanozarrachalarining kichik o'lchami tufayli bo'lishi mumkin.

### Tadqiqot usuli:

SAPO-34 kristalli seriyasining kukunli XRD naqshlari 4-rasmida ko'rsatilgan. Barcha namunalar 9.6, 13.2, 16.2, 20.8, 26.0 va 31.18 da CHA tuzilishiga tayinlangan tipik diffraktsiya cho'qqilarini ko'rsatadi. Ota-oni namunalari bilan solishtirganda, kislota bilan ishlov berilgan namunalarning XRD ternlari, shuningdek, SAPO-34 ning asosiy tarkibiy xususiyatlarini ko'rsatadi.



Shu bilan birga, turli xil zeolitlarning diffraktsiya cho'qqilarining intensivligi kislota bilan ishlov berishdan so'ng sezilarli darajada pasayadi, bu kislota bilan ishlov berilgan SAPO-34-C-a, SAPO-34-H-a va SAPO-34-S-a (nominatsiyalar) uchun kristallik darajasi ancha past ekanligini ko'rsatadi. turli zeolitlar eksperimental bo'limda ko'rsatilgan), bu halokat natijasida yuzaga kelishi mumkin

Kislota bilan ishlov berish jarayonida ramka tuzilmalari, bu kislota bilan ishlov berilgan SAPO-34 uchun nisbatan pastroq kristallikni ko'rsatadi.[37-39] Olingan SAPO-34 ning tarkibi XRF tomonidan aniqlandi. 2-jadvalda ko'rsatilganidek, kislota bilan ishlov berilgan SAPO-34 ning molyar tarkibi ota-onamunalarinikiga o'xshashligi aniqlandi.

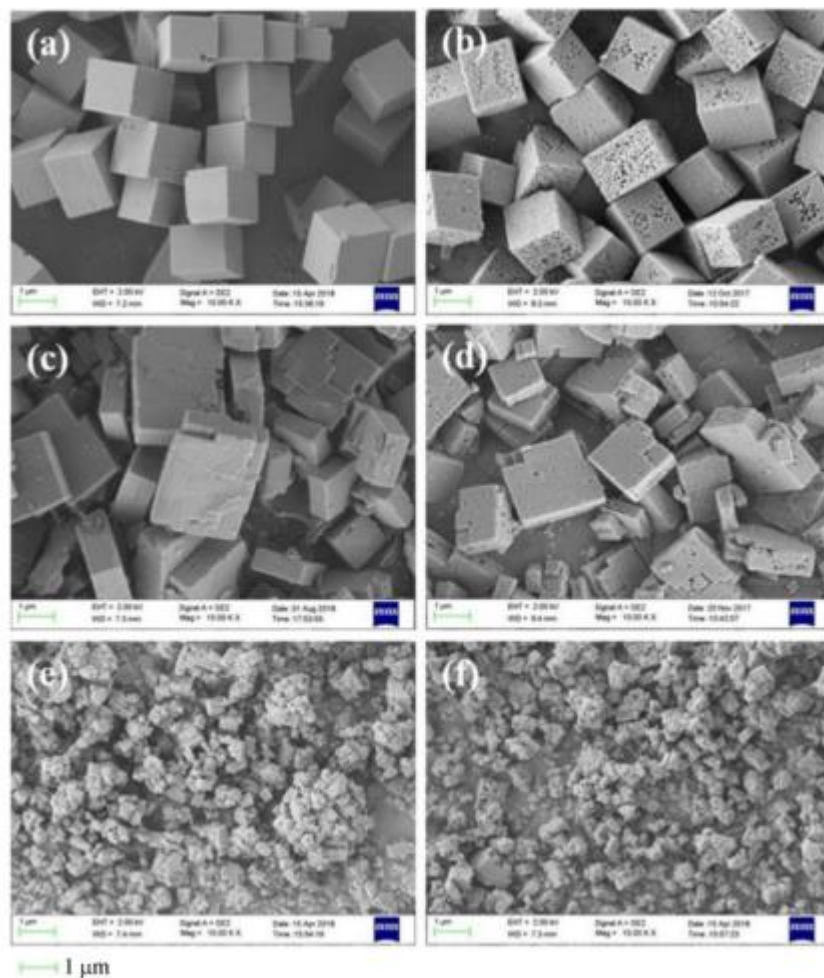
**Table 2.** Molar composition of bulk SAPO-34 samples.

Samples	Molar composition			
	$\text{Al}_2\text{O}_3$	$\text{SiO}_2$	$\text{P}_2\text{O}_5$	Si (Al + Si + P)
SAPO-34-C	0.46	0.12	0.42	0.06
SAPO-34-C-a	0.46	0.12	0.42	0.06
SAPO-34-H	0.45	0.11	0.44	0.06
SAPO-34-H-a	0.45	0.10	0.45	0.05
SAPO-34-S	0.39	0.19	0.42	0.11
SAPO-34-S-a	0.40	0.18	0.42	0.10

Ota-onaning SEM tasvirlari va kislota bilan ishlov berilgan SAPO-34



namunalar 5-rasmda ko'rsatilgan.



An'anaviy SAPO-34-C kristall o'lchamlari taxminan 1,5 mm bo'lgan odatdagi kubik morfologiyaga ega va SAPO-34-H o'rtacha zarracha hajmi  $1,5 \times 1,5 \times 0,6$  mm bo'lgan kubik morfologiyaga ega (5-rasm). SAPO-34-C va SAPO-34-H zeolitlari bir xil organik shablonlardan foydalangan holda sintez qilindi (2-jadval). Biroq, kristallanish shartlarini o'zgartirgandan so'ng, turli morfologiyaga ega bo'lgan kichikroq SAPO-34 kristallari olingan. Bundan tashqari, SAPO-34-S taxminan 400 nm zarracha o'lchamlaridan ancha kichikroq bo'lib, burilishlar va qadamlar tufayli qo'pol sirtli kristallitlar kuzatilgan (5-rasm). SAPO-34-C kislotasi bilan ishlov berilgandan so'ng, yon yuzlarida kapalak shaklidagi gözenekli naqshlar



mavjud (5-rasm b) SAPO-34-C-a dan farqli o'laroq, SAPO-34-H-a  $\text{HNO}_3$  bilan ishlov berishdan so'ng yon yuzlarda tartibsiz teshiklarni ko'rsatadi, bu ierarxik gözenek tuzilishining paydo bo'lishi SAPO-34 morfologiyasi bilan bog'liqligini ko'rsatadi (rasm).  $\text{HNO}_3$  bilan ishlov berishdan so'ng SAPO-34-S-a yuzasida deyarli gözenekler hosil bo'lmaydi, lekin zarrachalar qattiq o'yilgan (5-rasm f), Ehtimol, ularning juda kichik kristal o'lchamlari va turli xil kimyoviy tarkibi tufayli (2-jadval). Bundan tashqari, kislota bilan ishlov berishdan keyin SAPO-34-C-a va SAPO-34-H-a yuzasida ba'zi makroporlar (50-100 nm) ham kuzatildi. Ierarxik gözenekli strukturani kislota bilan ishlov berish sharoitlarini nazorat qilish orqali ham sozlash mumkin. 5-b-rasmda ko'rsatilganidek, S1-jadval va S2-rasm a-d (qo'llab-quvvatlovchi ma'lumotda), nitrat kislota konsentratsiyasining (0,5 dan 2 og'irligigacha) va yoki kislota eritmasining og'irlik nisbati oshishi bilan. SAPO-34 zeoliti (10 dan 40 gacha), ko'proq ierarxik g'ovak hosil bo'lgan va g'ovak o'lchamlari ham kattalashgan. Biroq, kislota bilan ishlov berishning boshqa shartlari (masalan, ishlov berish harorati va vaqt) SAPO-34 zeolitlarining g'ovak tuzilishiga juda kam ta'sir qiladi (Qo'llab-quvvatlovchi ma'lumotdagi S2 e, f-rasm). Biroq, kislota bilan ishlov berishning boshqa shartlari (masalan, ishlov berish harorati va vaqt) SAPO-34 zeolitlarining g'ovak tuzilishiga juda kam ta'sir qiladi (Qo'llab-quvvatlovchi ma'lumotdagi S2 e, f-rasm) SAPO-34 namunalarining N2 adsorbsion-desorbsion izotermalari 6-rasmda ko'rsatilgan.

**Natijalar va ularning muxokamasi:** Barcha N2 adsorbsion izotermalar mikrog'ovaklarni to'ldirish hisobiga IV tipga kiradi, ammo izotermrlarda 0,8–1,0 nisbiy bosimda ham kichik yutish kuzatilishi mumkin. kislota bilan ishlov berilgan namunalar uchun, bu kristallarda ikkilamchi mezoporlar yoki makroporlar mavjudligini ko'rsatadi. Bundan tashqari, nitrat kislota kontsentratsiyasining 0,5 dan 2 wt% gacha ortishi bilan, keyingi davolash paytida, mintaqadagi 0,8-1,0 ga o'sishi aniq histerez halqasi bilan aniqroq bo'ladi (qo'llab-quvvatlovchi



ma'lumotdagi S3-rasm). Shuning uchun HNO<sub>3</sub> kontsentratsiyasining oshishi bilan ko'proq mezoporlar va makroporlar hosil bo'ladi, bu SEM natijalariga mos keladi. BET sirt maydonlari va namunalarning g'ovak-hajm taqsimoti

N<sub>2</sub> adsorbsion-desorbsion izotermlardan hisoblangan 3-jadvalda keltirilgan. SAPO-34-C va SAPO-34-H bilan solishtirganda, SAPO-34-S ning BET yuzasi past kristalliligi tufayli ancha past. Bundan tashqari, HNO<sub>3</sub> bilan ishlov berishdan so'ng mikropora yuzasi va barcha namunalarning hajmi sezilarli darajada kamayadi, bu kislota bilan ishlov berishdan keyin mikroporlarning qisman yo'q qilinishi bilan bog'liq. Shuning uchun N<sub>2</sub> adsorbsion-desorbsion izotermlari SEM natijalari bilan

**Table 3.** Textural data of various SAPO-34 samples before and after nitric acid treatment.

Sample	$S_{\text{BET}}$ [m <sup>2</sup> g <sup>-1</sup> ]	$S_{\text{micro}}$ [m <sup>2</sup> g <sup>-1</sup> ]	$S_{\text{exter}}$ [m <sup>2</sup> g <sup>-1</sup> ]	$V_{\text{micro}}$ [cm <sup>3</sup> g <sup>-1</sup> ]	$V_{\text{exter}}$ [cm <sup>3</sup> g <sup>-1</sup> ]
SAPO-34-C	693	693	0	0.25	0
SAPO-34-C-a	475	462	13	0.17	0.02
SAPO-34-H	688	685	3	0.25	0.01
SAPO-34-H-a	555	537	18	0.20	0.03
SAPO-34-S	511	477	34	0.18	0.07
SAPO-34-S-a	325	293	33	0.11	0.07

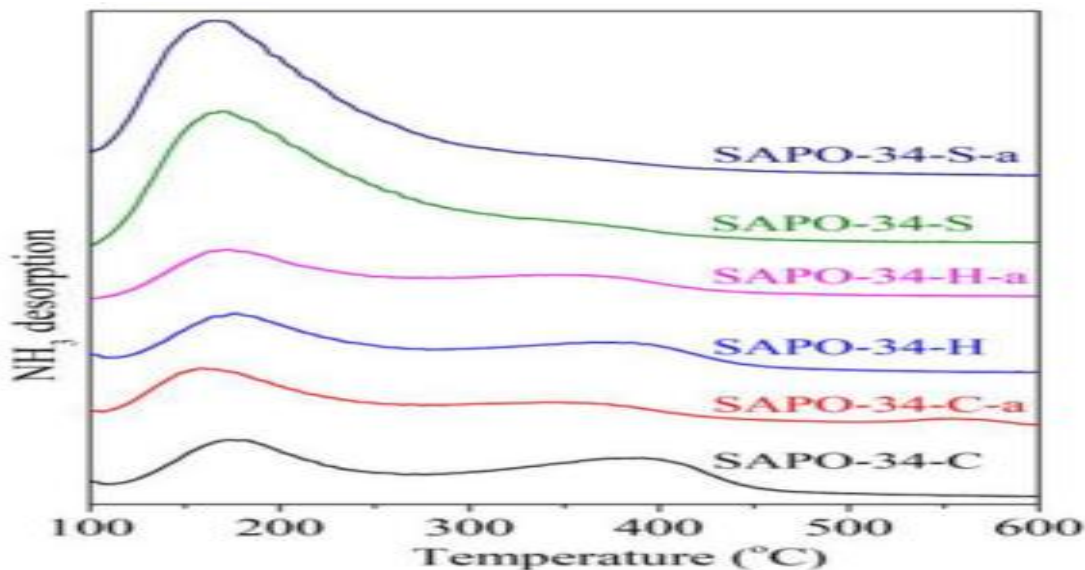
$S_{\text{BET}}$ : BET specific surface area;  $V_{\text{micro}}$ : micropore volume determined by t-plot;  $S_{\text{exter}}$ : specific surface area determined by  $S_{\text{BET}} - S_{\text{micro}}$ ;  $V_{\text{exter}}$ : pore volume determined by  $V_{\text{total}} - V_{\text{micro}}$ .

Figure 5. SEM images for (a) SAPO-34-C, (b) SAPO-34-C-a, (c) SAPO-34-H, (d) SAPO-34-H-a, (e) SAPO-34-S, and (f) SAPO-34-S-a.

zeolitlar mikro-/ dan iborat ierarxik g'ovak tuzilishga ega. HNO<sub>3</sub> bilan ishlov berishdan keyin hosil bo'lgan mezo-/makroporlar. Ushbu natijalar ierarxik g'ovak tuzilishini olish uchun kislota bilan ishlov berish usulidan foydalanish mumkinligini ko'rsatadi. Bundan tashqari, SAPO-34-C va SAPO34-H ning tashqi yuzasi kislotali ishlov berishdan keyin sezilarli darajada oshadi, SEM tasvirlarida ko'rsatilganidek, nanozarrachalarning kuchli korroziyasi tufayli SAPO-34-S uchun



u biroz kamayadi. Turli xil zeolitlarning kislotaligi NH<sub>3</sub>-TPD tomonidan baholandi, va profillar 7-rasmida ko'rsatilgan. Taxminan 1748 °C da desorbsiya cho'qqilari fizikaning

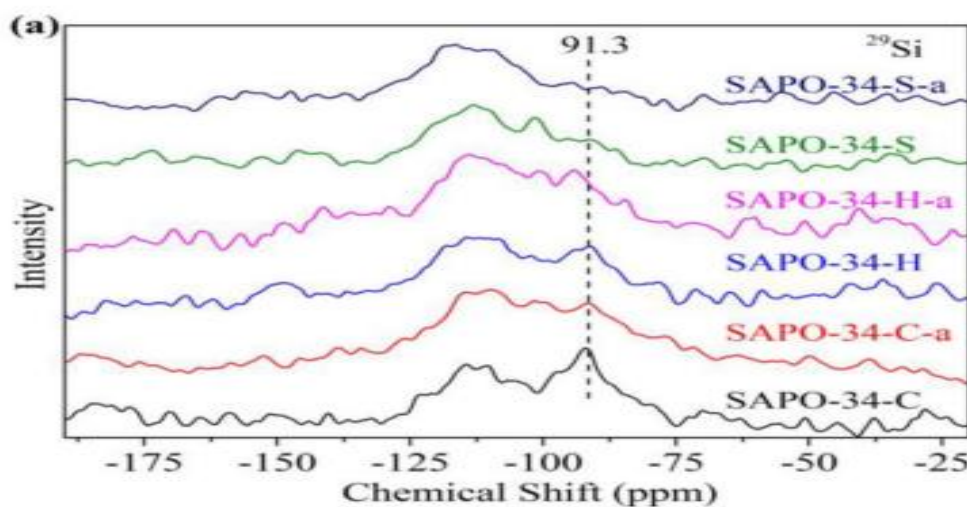


Shakl 7. Namunalarning NH<sub>3</sub>-TPD profillari.

sorblangan NH<sub>3</sub> va NH<sub>3</sub> zaif kislota joylarida, masalan, panjara nuqsonlari yoki terminal SiOH, AlOH va POHlarda adsorbsiyalanadi.[42, 43] Shunday qilib, agar ko'proq nuqson joylari hosil bo'lsa, past haroratli desorbsiya cho'qqilari maydoni kattaroq bo'ladi. SAPO-34-S va SAPO-34-Sa namunalarini XRD naqshlari va SEM natijalariga yaxshi mos keladigan past harorat cho'qqisi uchun ancha katta maydonlarni ko'rsatadi. 3908°C dagi cho'qqilar yuqori reaksiya haroratida MTO uchun faol joylar bo'lgan kuchli Bronsted kislotsasi joylarida adsorbsiyalangan NH<sub>3</sub> bilan bog'liq.[44, 45] Bundan tashqari, SAPO-34 zeolitlari uchun ham kuchsiz, ham kuchli kislota joylarining eng yuqori nuqtalari faqat bir oz farq qiladi, bu nitrat kislotsasi bilan ishlov berish kislota kuchini sezilarli darajada o'zgartirmasligini ko'rsatadi.[46] Bundan tashqari, kislota bilan ishlov berishdan keyin kuchli kislota joylari bilan bog'liq NH<sub>3</sub> desorbsiyasi kamayadi, bu esa SAPO-34 zeolitlari ustidan quyi olefinlarning shakllanishiga foyda keltirishi mumkin.[47-4]. Qattiq holatdagi



sehrli burchakli aylanish (MAS) NMR spektroskopiyasi turli SAPO-34 namunalarining ramka atomlarining kimyoviy muhitini o'rganish uchun ishlataligan.  $^{29}\text{Si}$  MAS NMR spektroskopiyasi SAPO-34 da mavjud bo'lgan turli kremniy muhitlarini aniqlash uchun ishlataligan (8-rasm a). Daqiqada 91,3 ppm signal Si(4Al) ga beriladi, bu esa Bronsted kislotasi joylarining asosiy manbai hisoblanadi.[10, 44, 45, 50] Bundan tashqari, barcha namunalar -94 dan -115 ppm gacha bo'lgan keng signalni ko'rsatadi, bu Si (3Al), Si (2Al), Si (1Al) va Si (0Al) ga tegishli. SAPO-34 zeolitlari uchun keyin



**Shakl 8. (a)  $^{29}\text{Si}$  va (b)  $^{27}\text{Al}$  qattiq holatdagi NMR spektrlari turli SAPO-34 namunalari.**

nitrat kislotasi bilan davolashdan so'ng, taxminan -91 ppm rezonans sezilarli darajada pasayadi, bu NH<sub>3</sub>-TPD tavsifi natijalariga mos keladigan Bronsted kislotasi joylari sonining kamayishini ko'rsatadi. Bundan tashqari, Bronsted kislotalari Al va Si ramka atomlari orasidagi ko'priki hidroksi guruuhlarida joylashgan, shuning uchun SAPO-34 dagi Al atrof-muhit ham kislotasi xususiyati bilan chambarchas bog'liq.[51] 8 b-rasmda namunalarning  $^{27}\text{Al}$  MAS NMR spektrlari ko'rsatilgan. 44 ppm da signal tetraedraldagi Al atomlariga mos keladi muhit. Barcha namunalar, shuningdek, 15 ppm da kichik cho'qqi va -10 ppm intensiv cho'qqisiga ega, ular mos ravishda penta muvofiqlashtirilgan va oktaedral



Al atomlariga tegishli. Nitrat kislota bilan ishlov berishdan so'ng, rezonansning intensivligi 44 ppm kamayadi, shu bilan birga -10 ppm da rezonansning intensivligi ortadi. Kislota bilan ishlov berish tetraedral ramka Al turlarini oktaedral Al turlariga aylantiradi, natijada ko'prik gidroksi turlari tufayli kislotali zichlik kamayadi.

## Xulosa

Biz 0,4 dan 1,5 mm gacha bo'lgan kristall o'lchamlari va turli xil g'ovak tuzilmalariga ega bo'lgan kichik  $\text{In}_2\text{O}_3$  zarrachalari o'lchami taxminan 8 nm bo'lgan  $\text{ZnZrO}_x$  qo'llab-quvvatlanadigan indiy asosidagi oksidlarni va bir qator SAPO-34 zeolitlarini tayyorladik.  $\text{In}_2\text{O}_3$ - $\text{ZnZrO}_x$  kompozit oksidlari va turli SAPO-34 zeolitlarining granulalari mexanik ravishda aralashtirildi va olefinlarni kamaytirish uchun bevosita  $\text{CO}_2$  gidrogenatsiyasi uchun foydalanildi.  $\text{C}_2=\text{C}_4$  = selektivlik barcha uglevodorodlar orasida 85% ga etadi faqat taxminan 1%  $\text{CH}_4$  va 17%  $\text{CO}_2$  konversiyasida  $\text{C}_2\text{-C}_4$  olefin/parafin (o/p) nisbati 7,7 ga teng.  $\text{C}_2=\text{C}_4$  = selektivlik prognoz qilingan maksimal qiymatdan ancha yuqori O'zgartirilgan Fisher-Tropsch sintez katalizatorlari bo'yicha Anderson-Schulz-Flory taqsimoti. Ikki funktsiyali katalizatorlardagi SAPO-34 zeolitlarining fizik-kimyoviy xususiyatlari  $\text{CO}_2$  gidrogenatsiyasi uchun katalitik ishlash uchun muhim rol o'ynashi aniqlandi.  $\text{C}_2=\text{C}_4$  = selektivlik va bifunksional katalizatorlarga nisbatan  $\text{C}_2\text{-C}_4$  o/p nisbati SAPO-34 zeolitining kristal hajmining pasayishi bilan asta-sekin o'sib boradi, chunki kichraytirilgan kristal o'lchami diffuziya uzunligini sirtdan kislota joylariga qisqartirishi mumkin. zeolit gözenekleri, shuning uchun quyi olefinlarni hosil qilish uchun samarali C-C ulanishi uchun oraliq turlarning massa o'tkazilishiga yordam beradi.  $\text{HNO}_3$  dan keyingi davolashdan so'ng SAPO-34 zeolitlari mikro-/mezo-/mac roporlardan tashkil topgan ierarxik tuzilmani hosil qiladi va Bronsted kislotasi



joylari miqdori ham kamayadi, ularning ikkalasi ham C<sub>2</sub> =C<sub>4</sub> ni yanada kuchaytiradi. Bundan tashqari, SAPO-34 ning kristal kattaligi va gözenek tuzilishi teskari suv-gaz almashinushi (RWGS) reaktsiyasi muvozanatiga sezilarli ta'sir ko'rsatmaydi. RWGS reaksiyasidan CO selektivligi turli In<sub>2</sub>O<sub>3</sub>-ZnZrO<sub>x</sub>/SAPO-34 bifunksional katalizatorlariga nisbatan taxminan 54% ni tashkil qiladi. Shunday qilib, ushbu tadqiqot CO<sub>2</sub> gidrogenatsiyasidan ishlab chiqarish taqsimotini sozlash imkonini beruvchi istiqbolli katalizator dizaynnini ko'rsatadi.

### Adabiyotlar

1. Kuyboqarov O., Anvarova I., Abdullayev B. RESEARCH OF THE CATALYTIC PROPERTIES OF A CATALYST SELECTED FOR THE PRODUCTION OF HIGH-MOLECULAR WEIGHT LIQUID SYNTHETIC HYDROCARBONS FROM SYNTHESIS GAS //Universum: технические науки. – 2023. – №. 10-7 (115). – С. 28-32.
2. Kuyboqarov O., Egamnazarova F., Jumaboyev B. STUDYING THE ACTIVITY OF THE CATALYST DURING THE PRODUCTION PROCESS OF SYNTHETIC LIQUID HYDROCARBONS //Universum: технические науки. – 2023. – №. 11-7 (116). – С. 41-45.
3. Муртазаев Ф.И., Нематов Х.И., Бойтемиров О.Э., Куйбакаров О.Э., & Каршиев М.Т. (2019). ПОЛУЧЕНИЕ КОМПОЗИЦИЙ НА ОСНОВЕ СЕРЫ И НИЗКОМОЛЕКУЛЯРНОГО ПОЛИЭТИЛЕНА ДЛЯ ДОРОЖНЫХ И СТРОИТЕЛЬНЫХ МАТЕРИАЛОВ. Международный академический вестник, (10), 102-105.
4. Муртазаев Ф.И., Нематов Х.И., Бойтемиров О.Э., Куйбакаров О.Э., & Каршиев М.Т. (2019). ФИЗИКО-ХИМИЧЕСКИЕ СВОЙСТВА СИНТЕЗИРОВАННЫХ ОЛИГОМЕРОВ ДЛЯ ОБЕССЕРИВАНИЯ ПРИРОДНОГО ГАЗА ОТ СЕРОВОДОРОДА. Международный академический вестник, (10), 105-107.



5. Boytemirov O., Shukurov A., Ne'matov X., & Qo'yboqarov O. (2020). Styrene-based organic substances, chemistry of polymers and their technology. Результаты научных исследований в условиях пандемии (COVID-19), 1(06), 157-160.
6. Куйбокаров О., Бозоров О., Файзуллаев Н., Хайитов Ж., & Худойбердиев И.А. (2022, June). Кобальтовые катализаторы синтеза Фишера-Тропша, нанесенные на Al<sub>2</sub>O<sub>3</sub> различных полиморфных модификаций. In E Conference Zone (pp. 349-351).
7. Куйбокаров О.Э., Бозоров О.Н., Файзуллаев Н.И., & Нуруллаев А.Ф.У. (2022). КАТАЛИТИЧЕСКИЙ СИНТЕЗ ВЫСОКОМОЛЕКУЛЯРНЫХ УГЛЕВОДОРОДОВ ИЗ СИНТЕЗ-ГАЗА В ПОЛИФУНКЦИОНАЛЬНОМ КАТАЛИЗАТОРЕ. Universum: технические науки, (1-2 (94)), 93-103.
8. Куйбокаров О.Э., Бозоров О.Н., Файзуллаев Н.И., & Хайдаров О.У.У. (2021). СИНТЕЗ ВЫСОКОМОЛЕКУЛЯРНЫХ УГЛЕРОДОВ ИЗ СИНТЕТИЧЕСКОГО ГАЗА ПРИ УЧАСТИИ CO-FE-NIZRO2/ВКЦ (ВЕРХНИЙ КРЫМСКИЙ ЦЕОЛИТ). Universum: технические науки, (12-4 (93)), 72-79.
9. Куйбоқаров О.Э., Шобердиев О.А., Рахматуллаев К.С., & Муродуллаева Ш. (2022). ПОЛИОКСИДНЫЕ КАТАЛИЗАТОРЫ ПЕРЕРАБОТКИ МЕТАНА В СИНТЕЗ ГАЗ. Central Asian Research Journal for Interdisciplinary Studies (CARJIS), 2(5), 679-685.
10. Rustamovich O.N., Ergashovich K.O., Khujanazarovna K.Y., Ruzimurodovich K.D., & Ibodullaevich F.N. (2021). Physical-Chemical and Texture Characteristics of Coate-Fe-Ni-ZrO<sub>2</sub>/YuKS+ Fe<sub>3</sub>O<sub>4</sub>+ d-FeOON. Turkish Online Journal of Qualitative Inquiry, 12(3).



11. О.Э.Куйбокаров., Т.Х.Сайфуллаев Конверсия метана в карбонат на молибденовых и цирконийных катализаторах Universum: технические науки. Выпуск: 12(117) Декабрь 2023 год.
12. О.Э.Куйбокаров. Контроль качества препарата самарий<sup>153</sup>sm-оксобифор Universum: технические науки. Выпуск: 3 (120) март 2024 год.
13. Qo‘yboqarov O.E. Metanni karbonatli konversiyalanishi Sanoatda raqamlı texnologiyalar 2(1). (2024).
14. Oybek Kuybokarov, Muradulla Karshiyev, Ganisher Rakhimov, Research of the catalytic properties of a catalyst selected for the production of high-molecular weight liquid synthetic hydrocarbons from synthesis gas E3S Web Conf. III International Conference on Actual Problems of the Energy Complex: Mining, Production, Transmission, Processing and Environmental Protection (ICAPE2024) Volume 498, 2024.